

ФГБУ «Арктический и антарктический научно-исследовательский институт»

МЦД МЛ

Информационные материалы по мониторингу морского ледяного покрова национального парка «Русская Арктика» на основе данных ледового картирования и пассивного микроволнового зондирования SSMR-SSM/I-SSMIS

02.09.2013 -10.09.2013 (№30)

Контактная информация:

лаб. МЦДМЛ ААНИИ, тел. +7(812)337-3149, эл.почта: wdc@aari.ru

Адрес в сети Интернет: <http://wdc.aari.ru/datasets/>

Содержание

	Стр.
Рисунок 1 – Обзорная ледовая карта акватории нац. парка «Русская Арктика» за текущую неделю	3
Рисунок 2 – Положение кромки льда (районов безледокольного плавания) и сплоченных льдов акватории нац. парка «Русская Арктика» за последние сутки	4
Рисунок 3 – Положение кромки льда (районов безледокольного плавания) в МЕТЗОНах XX-XXI на 1200 UTC за текущие сутки	5
Рисунок 4 – Обзорная ледовая карта акватории нац. парка «Русская Арктика» за текущую неделю и аналогичные периоды 2007-2012	6
Рисунок 5 – Ежедневные оценки сезонного хода ледовитости для акватории нац. парка «Русская Арктика» за период с 26.10.1978 по последние сутки по годам на основе расчетов по данным SSMR-SSM/I-SSMIS, алгоритм NASATEAM.	7
Рисунок 6 – Медианные распределения сплоченности льда за текущие 7 и 30-дневные периоды и её разности относительно медианного распределения за те же интервалы времени относительно периодов 1979-2013 и 2003-2013 годов	9
Таблица 1 – Динамика изменения значений ледовитости по сравнению с предыдущей неделей для акваторий нац. парка «Русская Арктика»	10
Таблица 2 - Медианные значения ледовитости для акваторий нац. парка «Русская Арктика» за за текущие 7 и 30-дневные периоды и её аномалии от 2007-2012 гг. и интервалов 2003-2013 гг. и 1978-2013 гг. по данным наблюдений SSMR-SSM/I-SSMIS, алгоритм NASATEAM	11
Характеристика исходного материала и методика расчетов	13

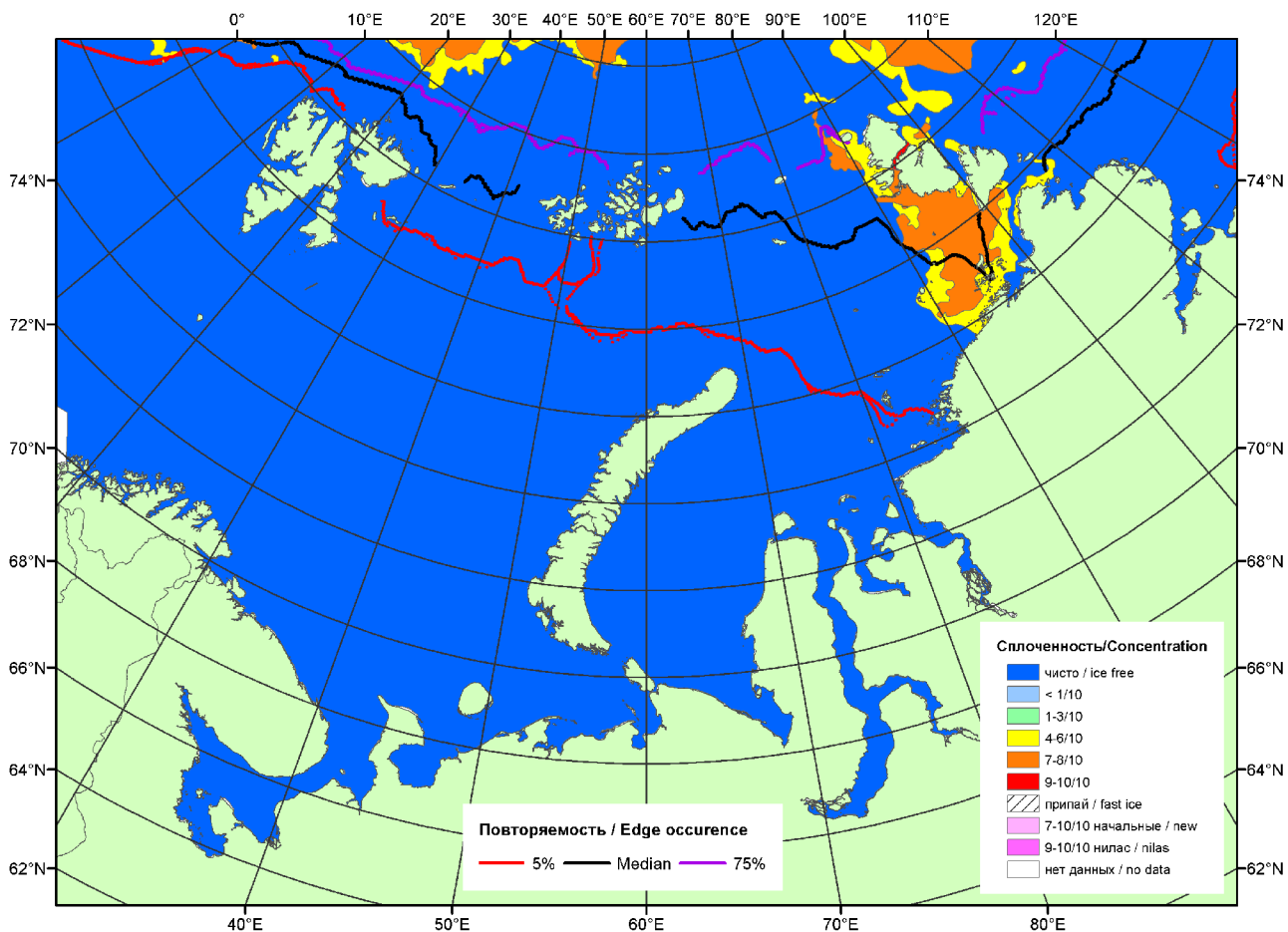


Рисунок 1 – Обзорная ледовая карта акваторий нац. парка «Русская Арктика» за 10.09.2013 г. на основе ледового анализа ААНИИ (10.09.2013) и повторяемость кромки за 06-10.09 за период 1979-2012 гг. по наблюдениям SSMR-SSM/I-SSMIS (алгоритм NASATEAM).

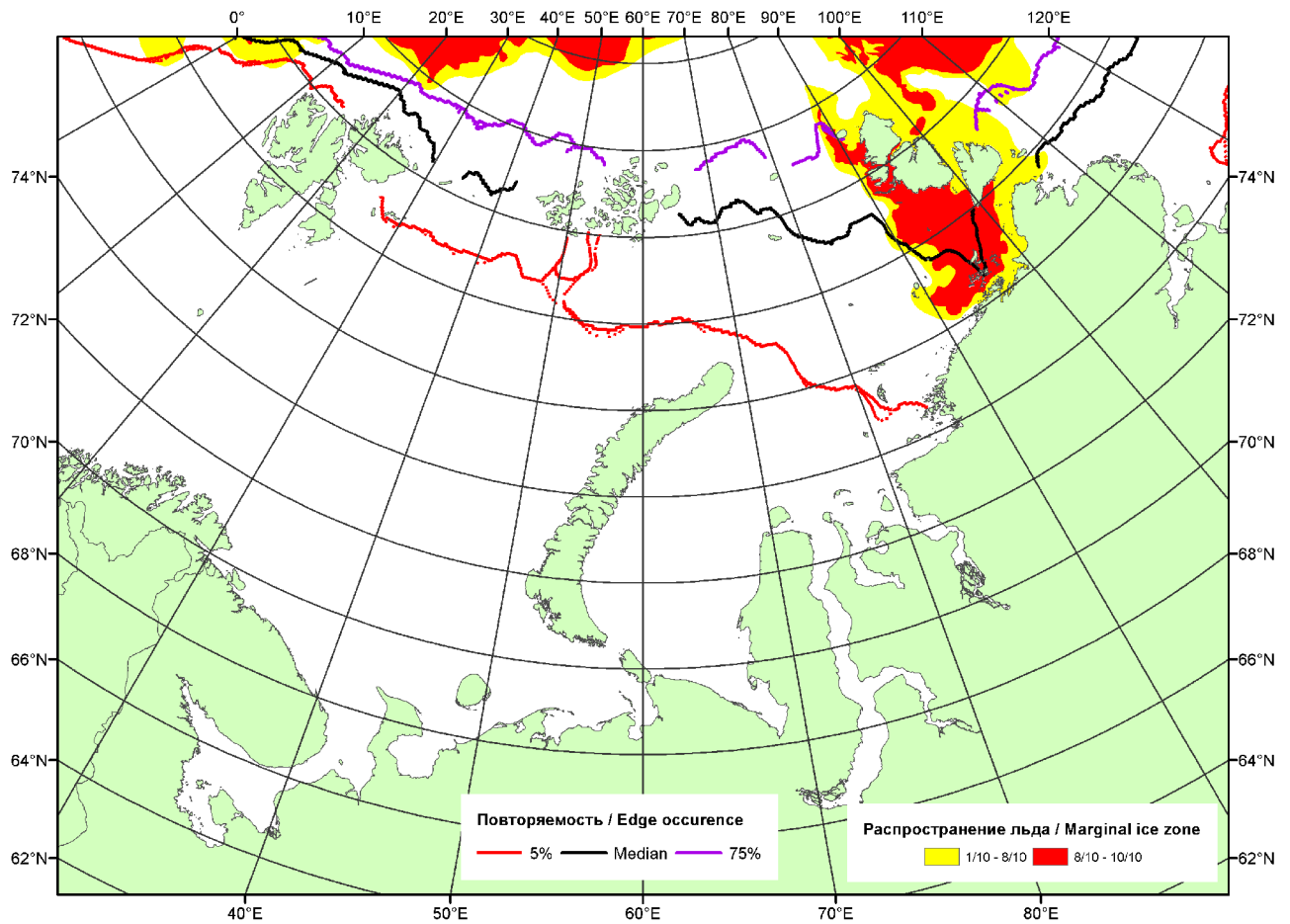


Рисунок 2 – Положение кромки льда (районов безледокольного плавания) и сплошных льдов акваторий нац. парка «Русская Арктика» за 09.09.2013 г. на основе ледового анализа Национального Ледового Центра США и повторяемость кромки за 06.09-10.09 за период 1979-2012 гг. по наблюдениям SSMR-SSM/I-SSMIS (алгоритм NASATEAM)

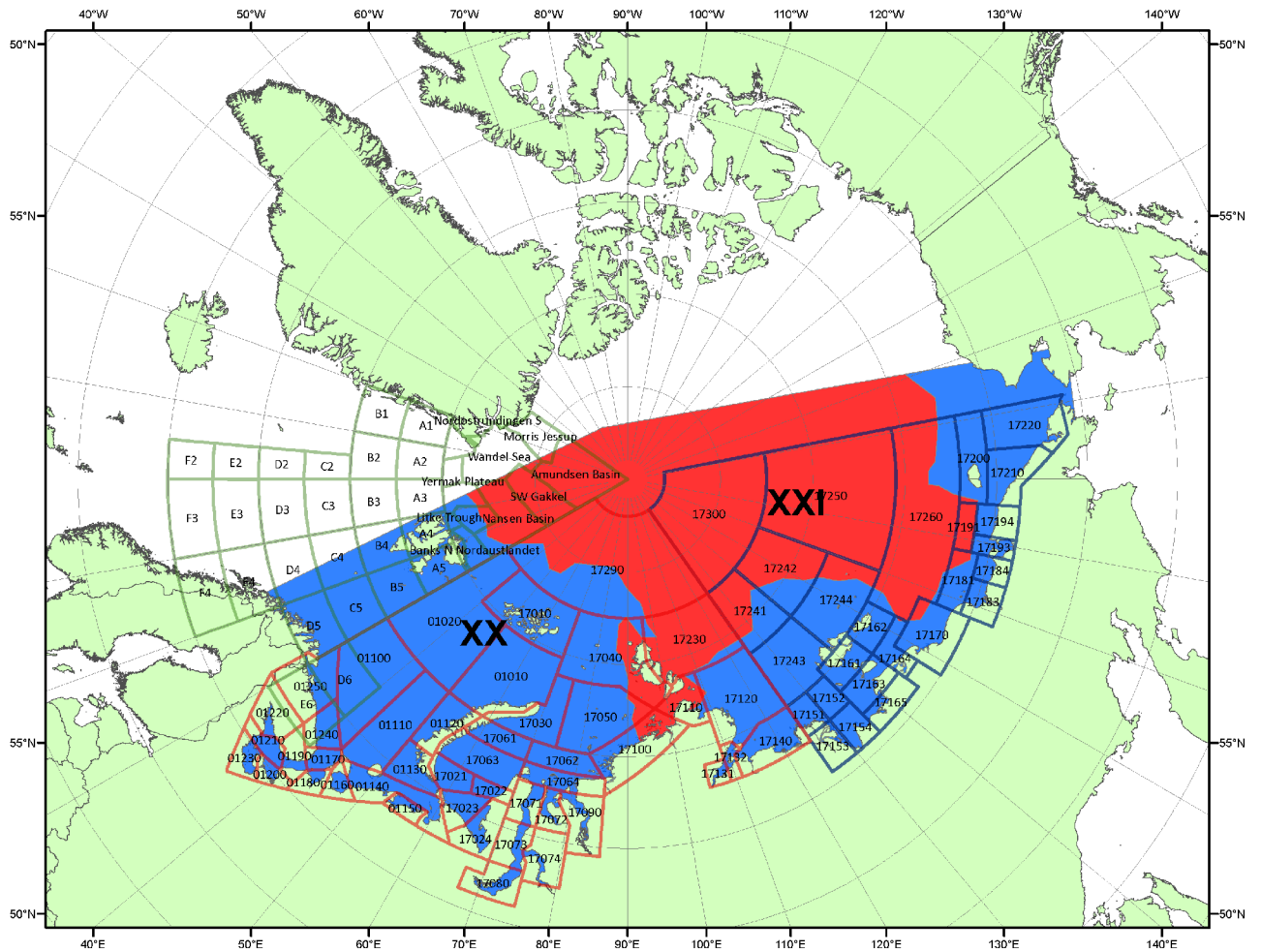


Рисунок 3 – Положение кромки льда (районов безледокольного плавания) в МЕТЗОНах XX-XXI на 10.09.2013 1200UTC

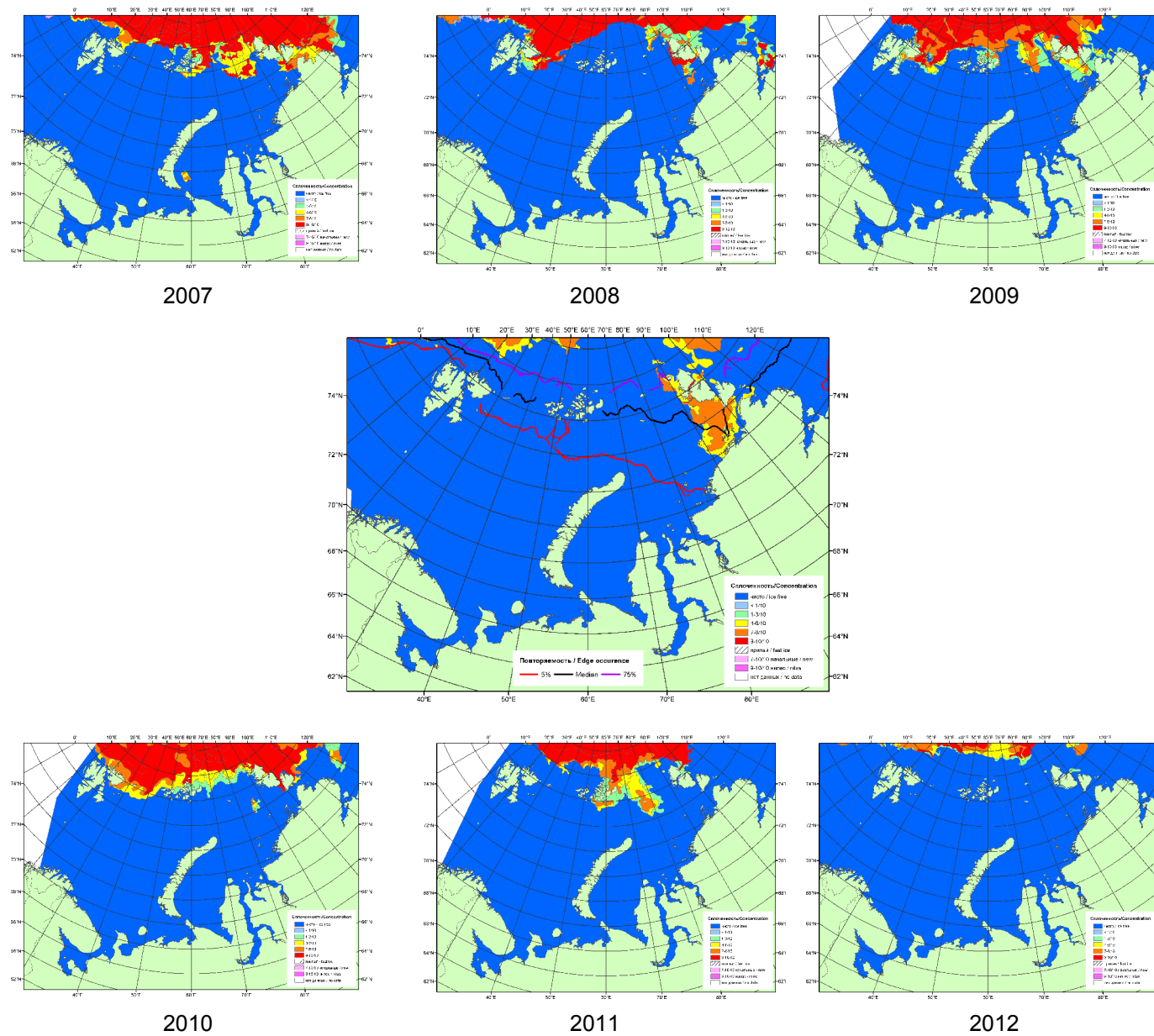
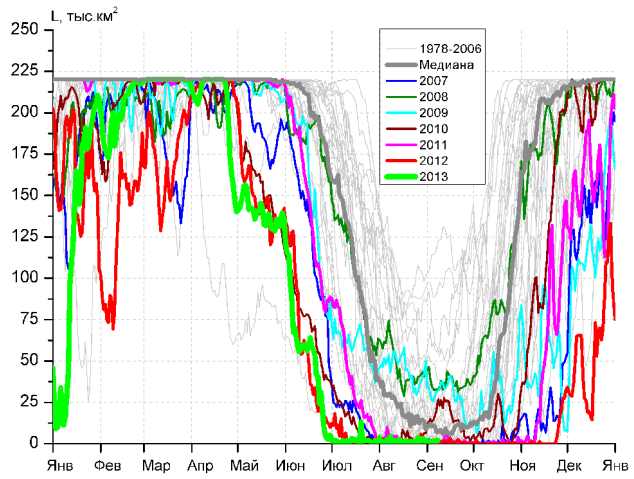
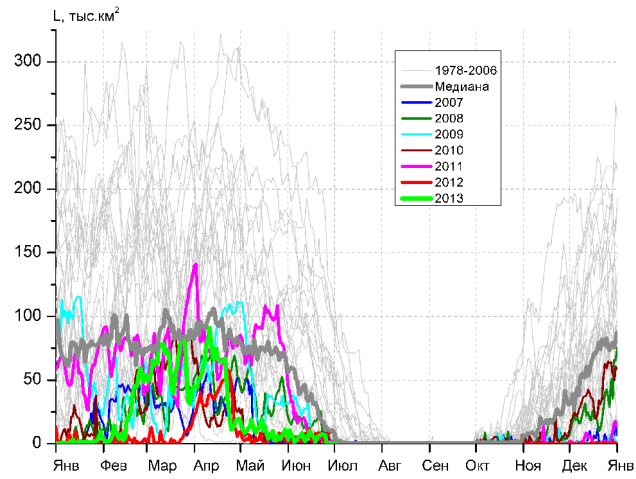


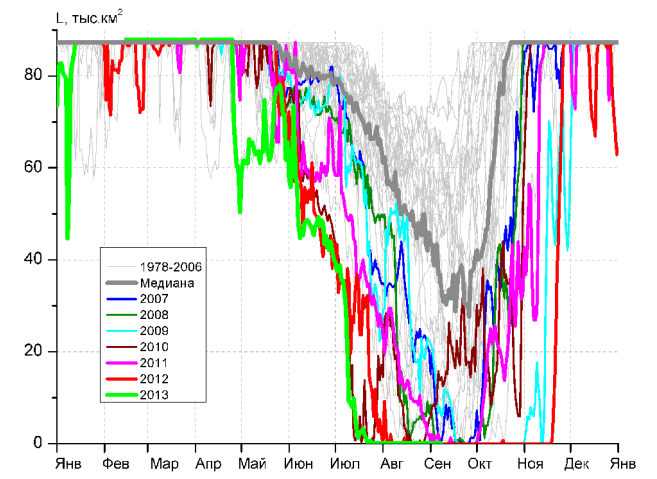
Рисунок 4 – Обзорная ледовая карта акваторий нац. парка «Русская Арктика» за 10.09.2013 г. и аналогичные периоды 2007-2012 гг. на основе ледового анализа ААНИИ и Национального ледового центра США.



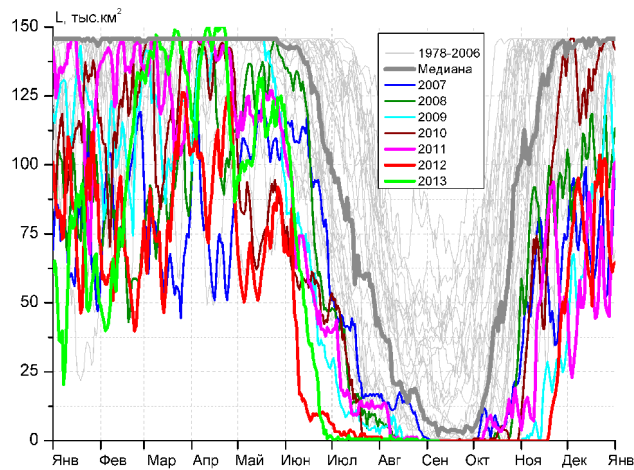
СЗ Баренцева моря (район I)



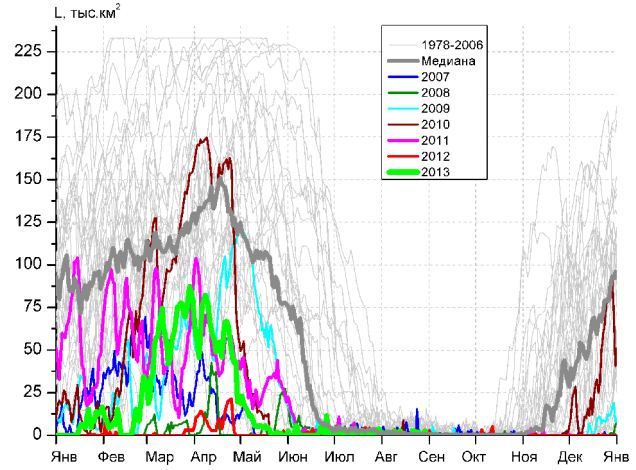
З Баренцева моря (район II)



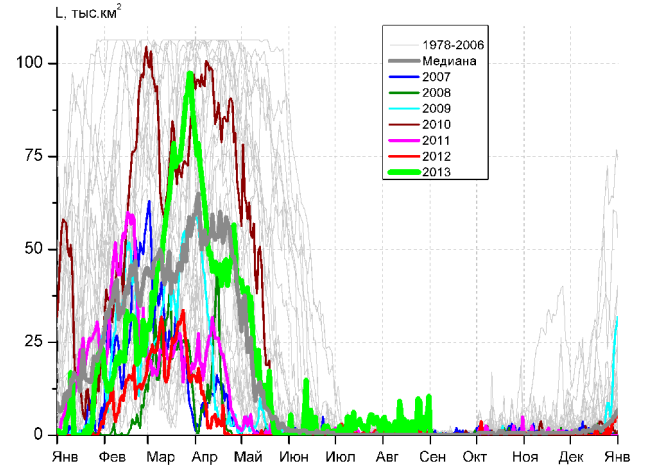
Прибрежные воды ЗФИ (район III)



СВ Баренцева моря (район IV)



В Баренцева моря (V район)



ЮВ Баренцева моря (район VI)

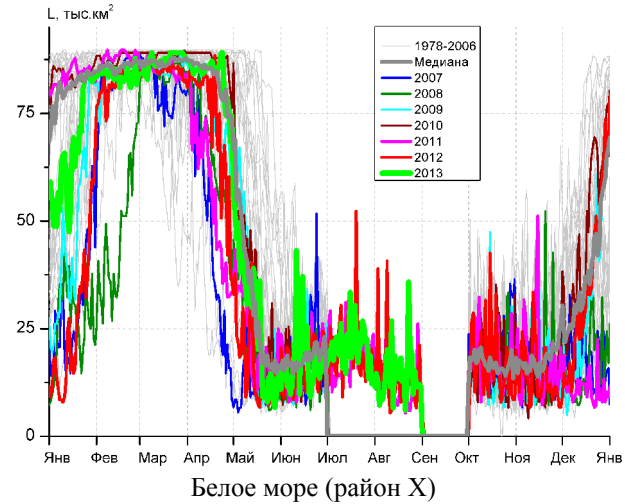
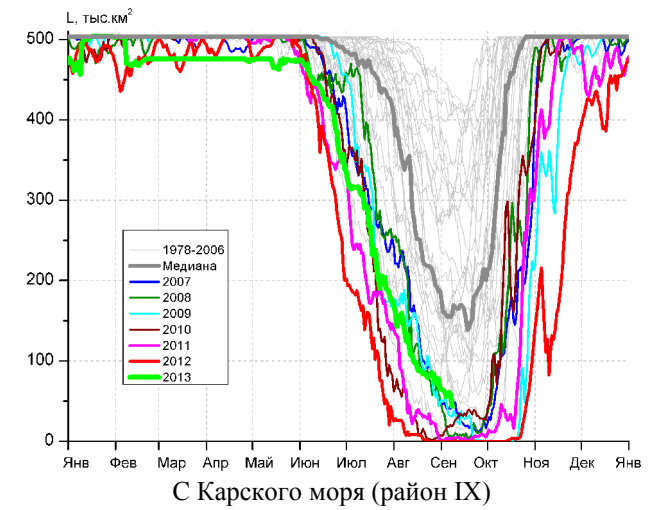
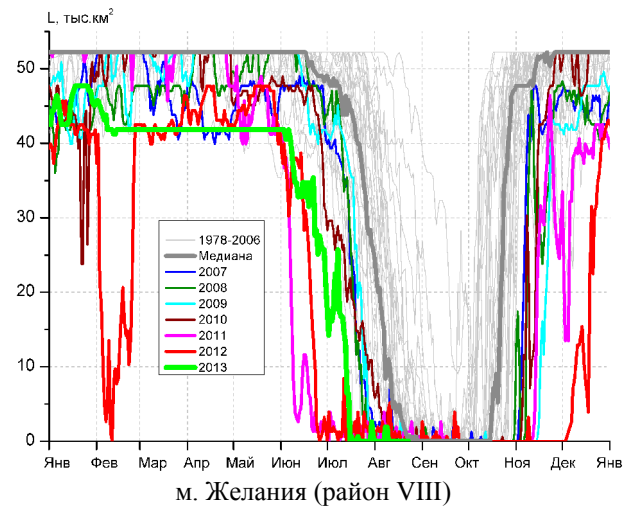
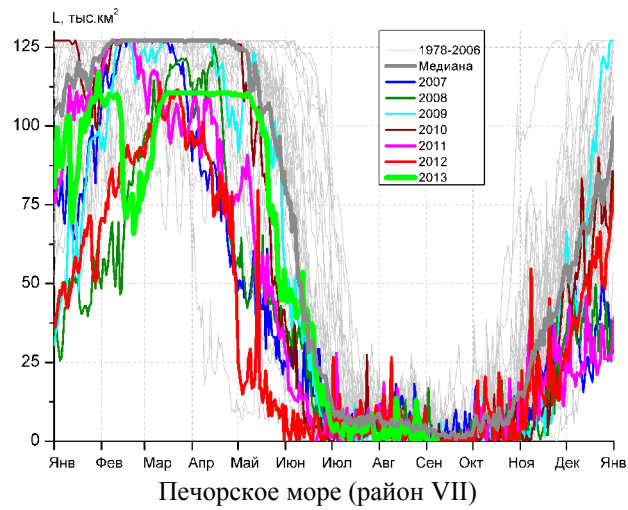


Рисунок 5 – Ежедневные оценки сезонного хода ледовитости для акваторий (рис.7) нац. парка «Русская Арктика» за период 26.10.1978 - 08.09.2013 по годам на основе расчетов по данным SSMR-SSM/I-SSMIS, алгоритм NASATEAM.

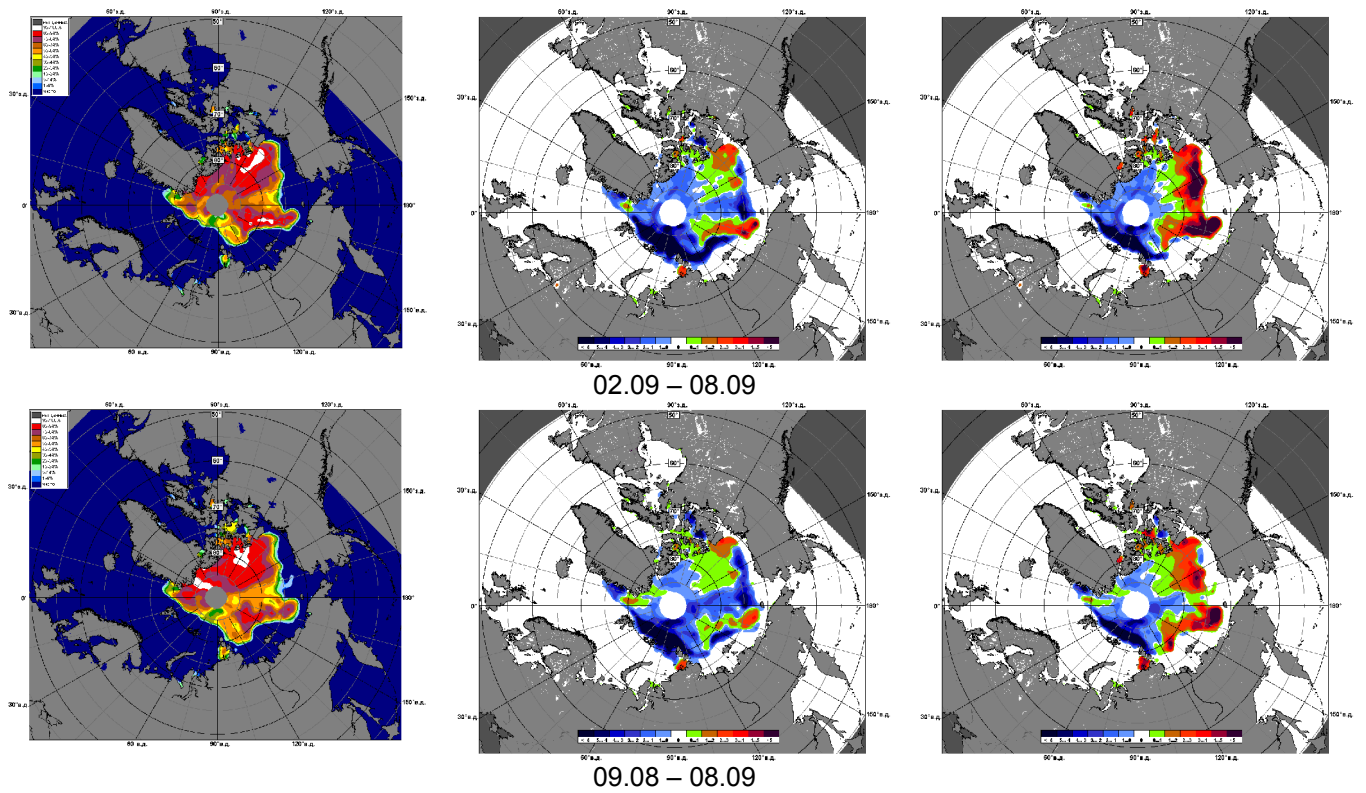


Рисунок 6 – Медианные распределения сплоченности льда за текущие 7 и 30-дневные промежутки 2013 г. (слева) и её разности относительно медианного распределения за те же месяца за периоды 1979-2013 (центр) и 2003-2013 гг. (справа) на основе расчетов по данным SSMR-SSM/I-SSMIS, алгоритм NASATEAM.

Таблица 1 – Динамика изменения значений ледовитости по сравнению с предыдущей неделей для акваторий (рис.7) нац. парка «Русская Арктика» за 2 – 8 сентября 2013 г. по данным наблюдений SSMR-SSM/I-SSMIS

02-08.09				
Регион	СЗ Баренцева моря (I)	З Баренцева моря (II)	Прибрежные район ЗФИ (III)	СВ Баренцева моря (IV)
Разность	-0.7	0.0	0.0	-0.1
тыс.кв.км/сут.	-0.1	0.0	0.0	0.0
02-08.09				
Регион	В Баренцева моря (V)	ЮВ Баренцева моря (VI)	Печорское море (VII)	Мыс Желания (VIII)
Разность	-0.4	-3.8	-1.9	0.0
тыс.кв.км/сут.	-0.1	-0.5	-0.3	0.0
02-08.09				
Регион	С Карского моря (IX)	Белое море (X)		
Разность	-17.7	-10.2		
тыс.кв.км/сут.	-2.5	-1.5		

Таблица 2 - Медианные значения ледовитости для акваторий (рис.7) нац. парка «Русская Арктика» за 7-дневный (неделя) и 30-дневный промежутки времени и её аномалии от 2008-2012 гг. и интервалов 2003-2013 гг. и 1978-2013 гг. по данным наблюдений SSMR-SSM/I-SSMIS, алгоритм NASATEAM
02-08.09

Регион	S, тыс. км ²	Аномалии, тыс км ² /%							1978-2013гг			
		2008 г	2009 г	2010 г	2011 г	2012 г	2003-2013гг	1978-2013гг	Минимум дата	Максимум дата	Среднее	Медиана
СЗ Баренцева моря (I)	1.4	-34.4	-28.4	-15.7	0.0	-0.1	-13.3	-17.7	0.0	122.8	19.1	6.2
		-96.1	-95.3	-91.7	0.0	-5.7	-90.4	-92.6	02.09.2004	08.09.1989		
З Баренцева моря (II)	0.0	0.0	0.0	0.0	0.0	0.0	0.0	0.0	0.0	6.4	0.0	0.0
		-	-	-	-	-	-	-100.0	02.09.1980	03.09.1989		
Прибрежные район ЗФИ (III)	0.0	-1.2	-12.2	-11.1	-1.0	0.0	-12.9	-33.9	0.0	79.1	33.9	36.8
		-100.0	-100.0	-100.0	-100.0	-	-100.0	-100.0	02.09.1995	08.09.1982		
СВ Баренцева моря (IV)	0.0	0.0	0.0	0.0	0.0	0.0	-4.4	-17.4	0.0	82.8	17.4	3.3
		-	-	-	-	-	-100.0	-100.0	02.09.1994	02.09.1999		
В Баренцева моря (V)	0.2	0.1	-1.0	0.2	-0.3	0.0	-0.3	-1.1	0.0	11.6	1.3	0.6
		100.0	-85.4	-	-60.0	0.0	-64.4	-86.8	02.09.1980	02.09.1991		
ЮВ Баренцева моря (VI)	0.0	-0.2	-0.2	0.0	0.0	0.0	-0.1	-0.2	0.0	1.9	0.2	0.0
		-100.0	-100.0	-	-	-	-100.0	-100.0	02.09.1980	03.09.1999		
Печорское море (VII)	0.4	-4.0	-2.0	0.1	-0.4	0.3	-1.4	-3.3	0.0	20.7	3.7	2.5
		-90.1	-81.7	29.2	-44.6	158.3	-76.3	-88.1	02.09.2002	03.09.1999		
Мыс Желания (VIII)	0.0	-0.3	0.0	0.0	0.0	-0.3	-0.1	-2.1	0.0	37.4	2.1	0.0
		-100.0	-	-	-	-100.0	-100.0	-100.0	02.09.1987	02.09.1980		
С Карского моря (IX)	57.2	40.9	16.4	41.6	54.1	57.2	-28.1	-127.5	0.0	448.3	184.7	154.5
		250.0	40.2	267.3	1762.3	-	-32.9	-69.0	02.09.2012	02.09.1981		
Белое море (X)	0.0	0.0	0.0	0.0	0.0	0.0	0.0	0.0	0.0	0.0	0.0	0.0
		-	-	-	-	-	-	-	02.09.1979	02.09.1979		

09.08-08.09

Регион	S, тыс. км ²	Аномалии, тыс км ² /%							1978-2013гг			
		2008 г	2009 г	2010 г	2011 г	2012 г	2003-2 013гг	1978-2 013гг	Минимум дата	Максимум дата	Среднее	Медиана
СЗ Баренцева моря (I)	1.3	-39.1	-39.4	-5.7	-0.2	-0.3	-14.8	-23.3	0.0	122.8	24.6	12.4
		-96.7	-96.7	-81.1	-13.4	-16.8	-91.7	-94.6	09.08.2007	08.09.1989		
З Баренцева моря (II)	0.0	0.0	0.0	0.0	0.0	0.0	0.0	0.0	0.0	6.4	0.0	0.0
		-	-	-	-	-	-100.0	-100.0	09.08.1980	03.09.1989		
Прибрежные район ЗФИ (III)	0.0	-7.4	-26.8	-5.8	-8.2	0.0	-16.4	-38.1	0.0	79.1	38.1	45.3
		-100.0	-100.0	-100.0	-100.0	-100.0	-100.0	-100.0	09.08.2012	08.09.1982		
СВ Баренцева моря (IV)	0.2	-0.1	-1.0	0.2	-0.3	0.2	-3.8	-21.8	0.0	118.4	22.0	11.7
		-29.0	-82.6	-	-54.8	-	-94.7	-99.0	09.08.1984	12.08.1982		
В Баренцева моря (V)	0.9	0.6	0.4	0.5	0.5	0.4	0.0	-0.9	0.0	17.4	1.8	0.6
		295.6	93.5	133.9	146.8	70.3	3.9	-51.6	09.08.1992	13.08.1980		
ЮВ Баренцева моря (VI)	2.8	2.6	2.7	2.8	2.5	2.5	2.3	2.5	0.0	10.5	0.3	0.0
		1653.1	4672.2	14216.7	1144.9	844.0	446.5	768.9	09.08.1980	31.08.2013		
Печорское море (VII)	3.3	0.2	1.0	2.4	-0.4	-0.3	-0.7	-2.0	0.0	27.6	5.3	4.4
		7.2	41.5	254.1	-10.1	-9.1	-18.1	-37.7	10.08.2012	22.08.1993		
Мыс Желания (VIII)	0.1	-0.1	-0.1	-0.2	-0.5	-0.6	-0.5	-6.0	0.0	52.2	6.1	0.6
		-69.8	-69.8	-80.0	-89.3	-90.1	-88.3	-99.0	09.08.1995	17.08.1980		
С Карского моря (IX)	82.7	2.4	-8.0	66.5	60.5	79.6	-29.9	-146.3	0.0	496.4	228.9	212.3
		3.0	-8.8	413.0	272.3	2631.6	-26.6	-63.9	24.08.2012	09.08.1989		
Белое море (X)	11.4	11.4	11.4	11.4	2.3	2.1	8.7	10.6	0.0	40.7	0.9	0.0
		-	-	-	25.5	22.6	321.0	1239.5	09.08.1979	09.08.2012		

Характеристика исходного материала и методика расчетов

Для иллюстрации ледовых условий Арктического региона представлены совмещенные региональные карты ААНИИ (Баренцево, Карское, Лаптевых) и, при необходимости, ГМЦ России (Белое море) и Национального ледового центра США – НЛЦ (циркумполярная ледовая карта). Совмещение карт выполнено путем перекрытия слоев (ААНИИ, верхний слой) – (ГМЦ, средний слой) – (НЛЦ, нижний слой). Для построения совмещенных карт использовался архив данных в формате СИГРИДЗ Мирового центра данных по морскому льду (МЦД МЛ). В пределах отдельного месяца выборка карт из архива проводилась по критериям близости интервала времени между картами ААНИИ и НЛЦ в 1 сутки (день недели выпуска карт ААНИИ и ГМЦ – каждый вторник, НЛЦ – 1 раз в 2 недели по понедельникам для циркумполярных карт).

Для иллюстрации ледовых условий Арктики за последние сутки используются данные ледового анализа о распределении сплоченных льдов и положении кромки НЛЦ США.

Для цветовой окраски карт использован стандарт ВМО (WMO/Td. 1215) для зимнего (по возрасту) и летнего (по общей сплоченности) периодов. Следует также отметить, что в зонах стыковки карт ААНИИ, ГМЦ и НЛЦ наблюдается определенная несогласованность границ и характеристик ледовых зон вследствие ряда различий в ледовых информационных системах ААНИИ, ГМЦ и НЛЦ. Однако, данная несогласованность несущественна для целей интерпретации ледовых условий в рамках настоящего обзора.

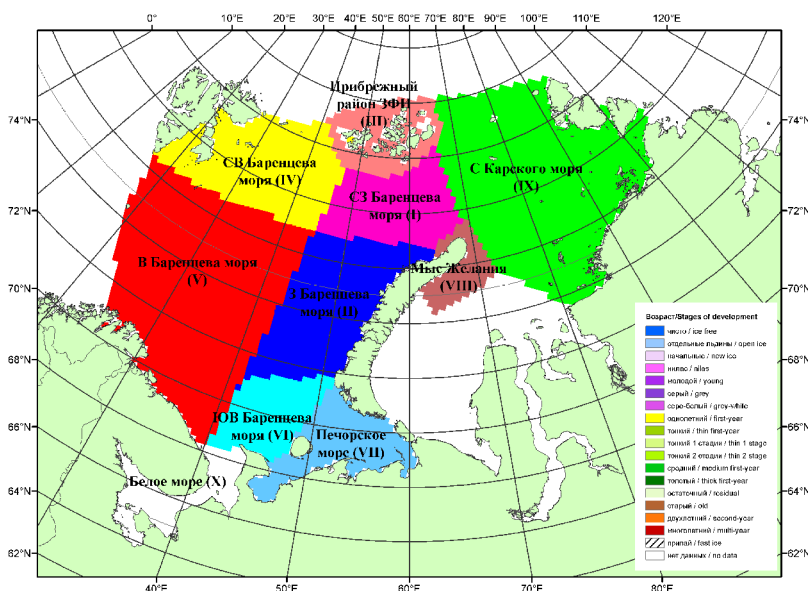


Рисунок 7 – Принятое районирование (акватории) национального парка «Русская Арктика» для расчета ледовитостей

Для получения оценок ледовитости и климатического положения кромок заданной повторяемости на основе данных спутниковых систем пассивного микроволнового зондирования SSMR-SSM/I-SSMIS в МЦД МЛ ААНИИ принята следующая технология расчетов:

- источник данных – архивные (Cavalieri et al., 2008, Meier et al., 2006) и квазиоперативные (Maslanik and Stroeve, 1999) с задержкой 1-2 дня ежедневные матрицы (поля распределения) оценок общей сплоченности Северной Полярной Области (севернее 45° с.ш.) по алгоритму NASATEAM за период с 26.10.1978 г. по настоящий момент времени, копируемые с сервера НЦДСЛ;
- область расчета – Северная Полярная область и её регионы с использованием масок океан/суша НЦДСЛ (http://nsidc.org/data/polar_stereo/tools_masks.html) и региональных масок ААНИИ;
- вычислительные особенности расчета – авторское программное обеспечение ААНИИ с сохранением точности расчетов и оценке статистических параметров по гистограмме распределения и свободно-распространяемое программное обеспечение GDAL для векторизации полей климатических параметров.

Исходная информация в формате ВМО СИГРИДЗ доступна на сервере МЦД МЛ по адресам <http://wdc.aari.ru/datasets/d0004> (карты ААНИИ), <http://wdc.aari.ru/datasets/d0033> (карты ГМЦ), <http://wdc.aari.ru/datasets/d0032> (карты НЛЦ).

В графическом формате PNG совмещенные карты ААНИИ-КЛС-НЛЦ доступны по адресу

<http://wdc.aari.ru/datasets/d0040>.

Результаты расчетов ледовитости Северной, Южной полярных областей, отдельных меридиональных секторов и морей доступны также на сервере МЦД МЛ АНИИ (<http://wdc.aari.ru/datasets/ssmi/data/>).

Cavalieri, D., C. Parkinson, P. Gloersen, and H. J. Zwally. 1996, updated 2008. *Sea Ice Concentrations from Nimbus-7 SMMR and DMSP SSM/I Passive Microwave Data*, [1978.10.26 – 2007.12.31]. Boulder, Colorado USA: National Snow and Ice Data Center. Digital media.

Meier, W., F. Fetterer, K. Knowles, M. Savoie, M. J. Brodzik. 2006, updated quarterly. *Sea Ice Concentrations from Nimbus-7 SMMR and DMSP SSM/I Passive Microwave Data*, [2008.01.01 – 2008.03.25]. Boulder, Colorado USA: National Snow and Ice Data Center. Digital media.

Maslanik, J., and J. Stroeve. 1999, updated daily. *Near-Real-Time DMSP SSM/I-SSMIS Daily Polar Gridded Sea Ice Concentrations*, [2008.03.26 – present moment]. Boulder, Colorado USA: National Snow and Ice Data Center. Digital media.